

УДК 531.19+544.72

В. С. Гришина, асп.; В. С. Вихренко, проф., д-р физ.-мат. наук  
(БГТУ, г. Минск)

А. Цях, проф., доктор (ИФХ ПАН, г. Варшава, Польша)

## ЛИНЕЙНОЕ НАТЯЖЕНИЕ В ОСНОВНОМ СОСТОЯНИИ SRLA СИСТЕМЫ

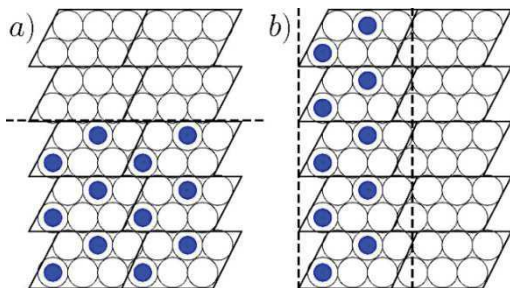
Монослои частиц на границах раздела двух жидкостей, имеющих структуру ядро-оболочка, находят применение в плазмонных системах, антибликовых покрытиях, подложках с предварительно нанесенным рисунком, при выращивании упорядоченных структур [1,2]. Такие частицы склонны образовывать гексагональные структуры, которые могут воспроизводиться на треугольной решетке. Они характеризуются отталкиванием между ближайшими соседями и взаимным притяжением более далеких соседей (SRLA – Short-range Repulsion Long-range Attraction взаимодействие).

Рассматривается система  $N$  частиц на треугольной решетке, содержащая  $M$  решеточных узлов. Все энергетические величины обезразмерены по энергии отталкивания ближайших соседей  $J_1^* = J$ . В частности, взаимное притяжение вторых соседей характеризуется величиной  $J_2 = -J_1^*/J$ . При увеличении химического потенциала  $\mu$  состояния системы изменяются от вакуума (отсутствие частиц) последовательно до концентраций ( $c = \langle N \rangle / M$  – среднее число частиц, приходящихся на узел решетки)  $1/3, 2/3, 1$  (конденсированное состояние). Эти четыре состояния разделены линиями существования фаз  $\mu = -3J_2, \mu = 3 - 3J_2, \mu = 6 - 3J_2$ .

В большом каноническом ансамбле реализуются только отмеченные выше концентрации частиц на решетке. Для системы с фиксированным числом частиц при концентрациях, отличающихся от отмеченных выше, одновременно существуют две фазы, разделенные межфазной границей, которая характеризуется дополнительной энергией образования. Эта энергия, отнесенная к единице длины границы, носит название линейного натяжения. Ориентация линии раздела фаз определяется минимумом энергии всей системы, поскольку энтропийное слагаемое при  $T = 0$  зануляется. Исходя из соображений симметрии, на треугольной решетке межфазные границы могут быть параллельны (границы первого типа) или перпендикулярны (границы второго типа) трем единичным векторам  $e_i$  с углом  $\pi/3$  между ними.

Рассмотрим в качестве примера границу раздела между вакуумом

и гексагональной фазой с концентрацией  $c = 1/3$ . Линии раздела фаз, параллельная и перпендикулярная направлению  $\mathbf{e}_1$ , показаны на рисунке 1a (горизонтальная линия) и на рисунке 1b (вертикальная линия), соответственно.



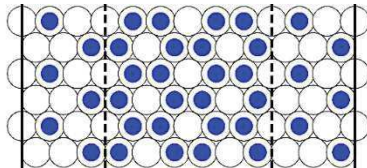
**Рисунок 1 – Решетка с  $M = 60$  узлами, распределенными между 10 элементарными ячейками. а) Средняя концентрация  $c = 12/60 = 0,2$ , граница раздела (горизонтальная линия в середине системы) первого типа. б) Средняя концентрация  $c = 1/6$ , и границы раздела второго типа (вертикальные линии)**

Линейное натяжение для линии первого типа равно  $\sigma = (4J_2 / 2) / 3a = 2J_2 / 3a$ , поскольку каждая частица в приграничном ряду теряет три связи, а во втором ряду – одну связь со вторыми соседями, и период последовательности частиц вдоль линии границы равен  $3a$ . Для линий второго типа частицы в приграничном ряду теряют по две связи каждая, а расстояние между частицами составляет  $\sqrt{3}a$ ; линейное натяжение  $\sigma = J_2 / \sqrt{3}a$ . Таким образом, реализуются линии второго типа, которым соответствуют более низкие энергии.

При контакте фаз с концентрациями  $1/3$  и  $2/3$  образуются две неэквивалентные параллельные линии раздела фаз (рисунок 2). Большой термодинамический потенциал принимает вид:

$$\Omega = \omega M + (\sigma_1 + \sigma_2)L, \quad (1)$$

где  $\omega$  – потенциал на узел решетки в объеме сосуществующих фаз,  $L$  – длина границы раздела,  $\sigma_i$  – поверхностное натяжение на границе раздела  $i$ . Увеличение энергии на каждые два горизонтальных ряда с учетом потери связей с первыми и вторыми соседями составляет  $1/2+J_2$  на правой стороне и  $-1/2+J_2$  на левой стороне. В результате получим  $\sigma = (\sigma_1 + \sigma_2) / 2 = 2J_2 / 2\sqrt{3}a = J_2 / \sqrt{3}a$ . Следовательно, линейное напряжение для границы второго типа такое же, как и при контакте фаз с  $c = 0$  и  $1/3$ . Такое же значение получим и для контакта фаз  $c = 2/3$  и  $1$ .



**Рисунок 2 – Решетка с  $M = 72$  узлами. Средняя концентрация  $c = 0,5$ . Две пунктирные линии раздела фаз  $c = 1/3$  и  $2/3$  перпендикулярны  $\mathbf{e}_1$  (вертикальные линии). Сплошные линии соответствуют периодическим граничным условиям. На левой линии раздела фаз ближайшие соседние узлы заняты. На правой линии раздела фаз таких пар нет**

Линейное натяжение для линии раздела фаз, параллельной единичному вектору  $\mathbf{e}_1$ , составляет  $\sigma = 2J_2/3a$ , как и в случае контакта фаз  $c = 0$  и  $1/3$ . Моделирование методом Монте-Карло при низкой температуре  $T = 0,1$  подтверждает появление линий раздела фаз, перпендикулярных к единичному вектору  $\mathbf{e}_1$ .

Когда число частиц не велико, формируется капля фазы  $c = 1/3$  внутри вакуума. Форма капли определяется минимумом энергии  $H_s \sum_i \sigma_i L_i + \sum_j V_j$  при фиксированной площади капли. В выше-приведенном выражении  $\sigma_i$  и  $L_i$  – линейное натяжение и длина отрезков с ориентацией  $i$  соответственно, а  $V_j$  – энергия  $j$ -й вершины. Когда количество частиц подобрано правильно, капля имеет гексагональную форму с ребрами, перпендикулярными векторам решетки  $\mathbf{e}_i$ . Периметр оптимальной капли  $P = 6ka\sqrt{3}$ , где  $ka$  – длина ребра. Количество потерянных связей с учетом угловых частиц равно  $6[(k-1)2+3] = 12k+6$ . Линейное натяжение  $\sigma = H_s / P = (1+1/2k)J_2 / (a\sqrt{3})$ . С другой стороны, для шестиугольной пустоты получим  $\sigma = H_s / P = (1-1/2k)J_2 / a\sqrt{3}$ . В пределе больших значений  $k$  оба значения стремятся к линейному натяжению для линии второго типа в соответствии с ориентацией сторон шестиугольника.

## ЛИТЕРАТУРА

1. Stable in bulk and aggregating at the interface: Comparing core-shell nanoparticles in suspension and at fluid interfaces / SA Vasudevan [et al.] // Langmuir. 2018. Vol. 34. P. 886–895.
2. Nanogels and Microgels: From Model Colloids to Applications, Recent Developments, and Future Trends / M. Karg [at al.] // Langmuir. 2019. Vol. 35. P. 6231–6255.